

$^{186}\text{W}(^{238}\text{U}, ^{238}\text{U}'\gamma)$ : delayed  $\gamma$ 's **1998Wh02**

Type	Author	History	Citation	Literature Cutoff Date
Full Evaluation	J. C. Batchelder and A. M. Hurst, M. S. Basunia		NDS 183, 1 (2022)	1-Mar-2022

No change compared to previous evaluation ([2003Ba44](#)).

E=1600 MeV (10-15% above Coulomb barrier); pulsed beam; 12 Compton-suppressed Ge-detector array with 50-element BGO inner ball; measured  $E\gamma$ ,  $\gamma\gamma$  coin,  $\gamma(t)$  for delayed gammas ( $1.65 \mu\text{s} \leq t \leq 1.65 \text{ ms}$ ); identified two high-K isomers; blocked BCS model calculations. See also [2000WhZZ](#).

 $^{186}\text{W}$  Levels

E(level) <sup>‡</sup>	$J^\pi$ <sup>†</sup>	$T_{1/2}$ <sup>#</sup>	Comments
0.0 <sup>@</sup>	0 <sup>+</sup>		
122 <sup>@</sup>	2 <sup>+</sup>		
396 <sup>@</sup>	4 <sup>+</sup>		
738 <sup>&amp;</sup>	2 <sup>+</sup>		
809 <sup>@</sup>	6 <sup>+</sup>		
863 <sup>&amp;</sup>	3 <sup>+</sup>		
953 <sup>a</sup>	2 <sup>-</sup>		
1007 <sup>&amp;</sup>	4 <sup>+</sup>		
1045 <sup>a</sup>	3 <sup>-</sup>		
1172 <sup>a</sup>	4 <sup>-</sup>		
1322 <sup>a</sup>	5 <sup>-</sup>		
1398 <sup>&amp;</sup>	6 <sup>+</sup>		
1517 <sup>b</sup>	7 <sup>-</sup>	18 $\mu\text{s}$ I	
1737 <sup>b</sup>	(8 <sup>-</sup> )		
2118 <sup>c</sup>	(9 <sup>-</sup> )		
2286 <sup>c</sup>	(10 <sup>-</sup> )		
2523 <sup>c</sup>	(11 <sup>-</sup> )		
2673?	(11 <sup>+</sup> )		
2838 <sup>c</sup>	(12 <sup>-</sup> )		
3144	(13 <sup>+</sup> )		
3363	(14 <sup>+</sup> )		
3534	(14 <sup>+</sup> )		
3543	(16 <sup>+</sup> )	>3 ms	$T_{1/2}$ : upper limit is 30 s. Possible configuration is $(\pi 5/2[402])+(\pi 9/2[514])+(\nu 7/2[503])+(\nu 11/2[615])$ ( <a href="#">1998Wh02</a> ); designated as four-quasiparticle yrast trap.

<sup>†</sup> Authors' suggested values; uncertain due to the large number of intrinsic states above the  $K^\pi=7^-$  isomer, and resultant ambiguities in level ordering ([1998Wh02](#)).

<sup>‡</sup> From least-squares adjustment of  $E\gamma$ , allowing equal weight for all data.

<sup>#</sup> From  $\gamma(t)$  ([1998Wh02](#)).

<sup>@</sup> Band(A):  $K^\pi=0^+$  g.s. band. Band assignment taken from Adopted Levels.

<sup>&</sup> Band(B):  $K^\pi=2^+$   $\gamma$  band. Band assignment taken from Adopted Levels.

<sup>a</sup> Band(C): Possible  $K^\pi=2^-$  band.

<sup>b</sup> Band(D):  $K^\pi=7^-$ ,  $(\pi 9/2[514])+(\pi 5/2[402])$  band. An alternative  $(\nu 3/2[512])+(\nu 11/2[615])$  configuration cannot be excluded ([1998Wh02](#)), but its calculated energy is somewhat high.

<sup>c</sup> Band(E):  $\pi=(-)$ , high-K band.

$^{186}\text{W}(^{238}\text{U}, ^{238}\text{U}'\gamma)$ : delayed  $\gamma$ 's **1998Wh02** (continued) $\gamma(^{186}\text{W})$ 

$E_\gamma$ †	$E_i(\text{level})$	$J_i^\pi$	$E_f$	$J_f^\pi$	$E_\gamma$ †	$E_i(\text{level})$	$J_i^\pi$	$E_f$	$J_f^\pi$
93	1045	3 <sup>-</sup>	953	2 <sup>-</sup>	309	1172	4 <sup>-</sup>	863	3 <sup>+</sup>
119	1517	7 <sup>-</sup>	1398	6 <sup>+</sup>	315	1322	5 <sup>-</sup>	1007	4 <sup>+</sup>
122	122	2 <sup>+</sup>	0.0	0 <sup>+</sup>	315	2838	(12 <sup>-</sup> )	2523	(11 <sup>-</sup> )
150	1322	5 <sup>-</sup>	1172	4 <sup>-</sup>	380	2118	(9 <sup>-</sup> )	1737	(8 <sup>-</sup> )
165	2838	(12 <sup>-</sup> )	2673?	(11 <sup>+</sup> )	387#	2673?	(11 <sup>+</sup> )	2286	(10 <sup>-</sup> )
168	2286	(10 <sup>-</sup> )	2118	(9 <sup>-</sup> )	390	3534	(14 <sup>+</sup> )	3144	(13 <sup>+</sup> )
180	3543	(16 <sup>+</sup> )	3363	(14 <sup>+</sup> )	391	1398	6 <sup>+</sup>	1007	4 <sup>+</sup>
183	1045	3 <sup>-</sup>	863	3 <sup>+</sup>	399‡	3543	(16 <sup>+</sup> )	3144	(13 <sup>+</sup> )
195	1517	7 <sup>-</sup>	1322	5 <sup>-</sup>	413	809	6 <sup>+</sup>	396	4 <sup>+</sup>
215	953	2 <sup>-</sup>	738	2 <sup>+</sup>	552	2838	(12 <sup>-</sup> )	2286	(10 <sup>-</sup> )
219	1172	4 <sup>-</sup>	953	2 <sup>-</sup>	589	1398	6 <sup>+</sup>	809	6 <sup>+</sup>
219	3363	(14 <sup>+</sup> )	3144	(13 <sup>+</sup> )	601	2118	(9 <sup>-</sup> )	1517	7 <sup>-</sup>
220	1737	(8 <sup>-</sup> )	1517	7 <sup>-</sup>	610	1007	4 <sup>+</sup>	396	4 <sup>+</sup>
237	2523	(11 <sup>-</sup> )	2286	(10 <sup>-</sup> )	615	738	2 <sup>+</sup>	122	2 <sup>+</sup>
269	1007	4 <sup>+</sup>	738	2 <sup>+</sup>	708	1517	7 <sup>-</sup>	809	6 <sup>+</sup>
274	396	4 <sup>+</sup>	122	2 <sup>+</sup>	738	738	2 <sup>+</sup>	0.0	0 <sup>+</sup>
277	1322	5 <sup>-</sup>	1045	3 <sup>-</sup>	740	863	3 <sup>+</sup>	122	2 <sup>+</sup>
306	3144	(13 <sup>+</sup> )	2838	(12 <sup>-</sup> )	884	1007	4 <sup>+</sup>	122	2 <sup>+</sup>
308	1045	3 <sup>-</sup>	738	2 <sup>+</sup>					

† From **1998Wh02**; uncertainty unstated by authors.

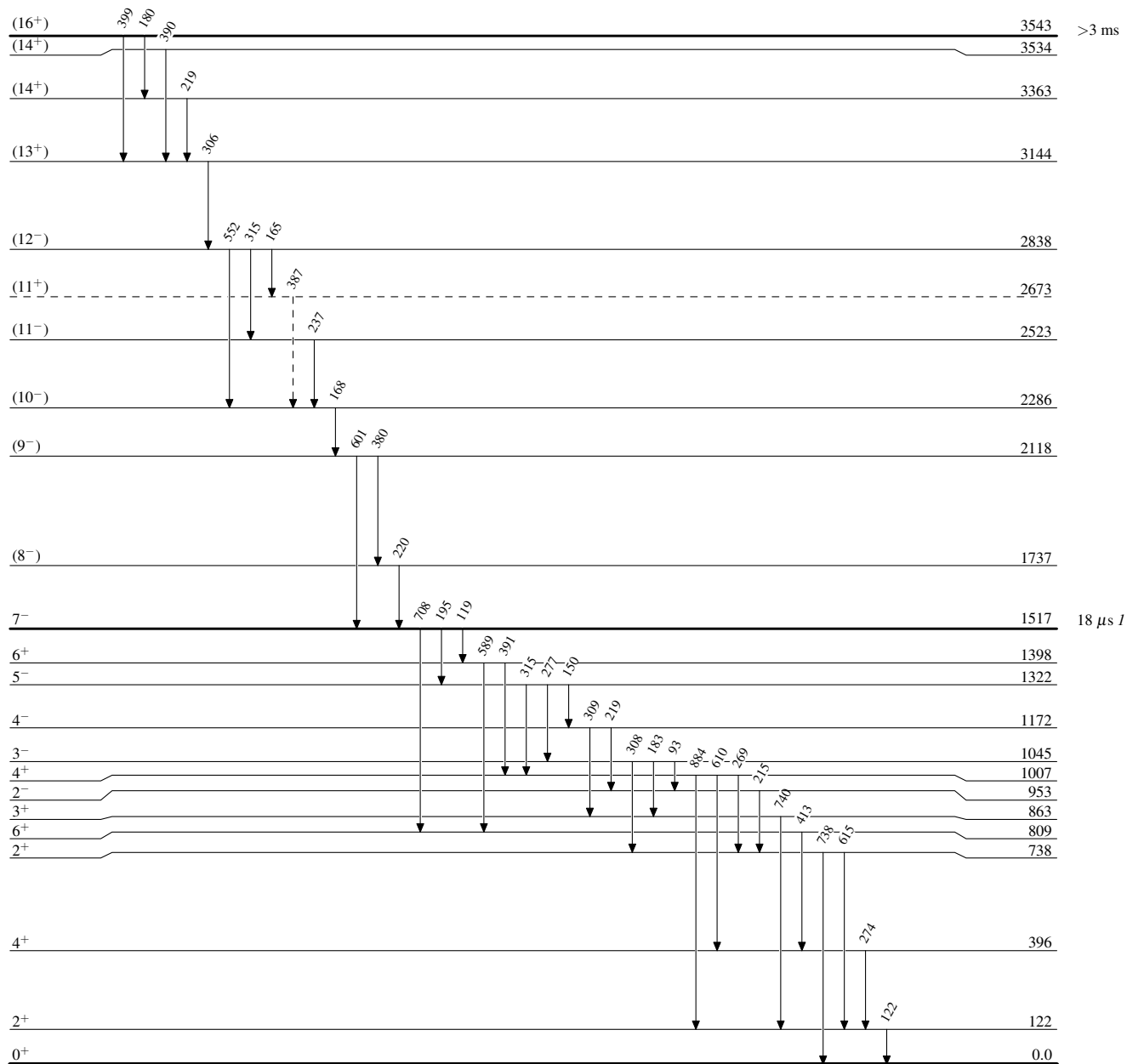
‡ **1998Wh02** conclude that this is probably a  $\Delta J=3$  transition (based on comparison between partial  $T_{1/2}$  and Weisskopf estimates).

# Placement of transition in the level scheme is uncertain.

$^{186}\text{W}(^{238}\text{U}, ^{238}\text{U}'\gamma)$ : delayed  $\gamma$ 's 1998Wh02

Legend

## Level Scheme

-----  $\rightarrow$   $\gamma$  Decay (Uncertain) $^{186}_{74}\text{W}_{112}$

$^{186}\text{W}(^{238}\text{U}, ^{238}\text{U}'\gamma)$ : delayed  $\gamma$ 's 1998Wh02